

Corso di aggiornamento
Progettazione strutturale e
Norme Tecniche per le Costruzioni 2008

Progetto di edifici antisismici in c.a.

11 - Risoluzione degli schemi base, Giudizio sulla struttura

Spoletto
11-13 novembre 2010
Aurelio Ghersi

Processo progettuale

- ✓ 1. Concezione generale della struttura, nel rispetto di principi base di buona progettazione
- ✓ 2. Impostazione della carpenteria dell'edificio
- ✓ 3. Dimensionamento delle sezioni e verifica di massima della struttura
- in corso 4. Analisi strutturale dettagliata e verifica del comportamento della struttura
- 5. Definizione delle armature ed elaborati grafici

4. Analisi strutturale: fasi di lavoro

- ✓ 4.1. Definizione dei carichi unitari
- ✓ 4.2. Valutazione dei carichi sulle travi
- ✓ 4.3. Valutazione delle masse di piano
- ✓ 4.4. Valutazione delle forze orizzontali (nel caso di analisi statica)
- ✓ 4.5. Definizione del modello della struttura
- 4.6. Risoluzione degli schemi base

**Giudicare gli schemi base
e le combinazioni di carico**

Carichi verticali:
siamo già abituati ad esaminarli e giudicarli

Forze orizzontali:
discutere separatamente analisi statica e modale

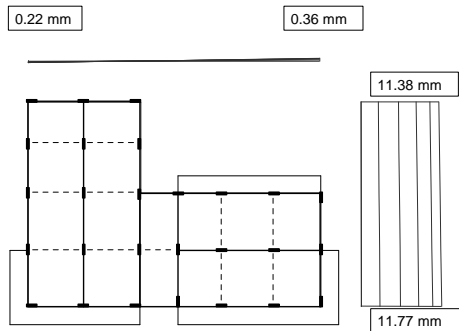
Discutere poi:
• effetto dell'eccentricità accidentale
• combinazione delle azioni nelle due direzioni

**Discussione dei risultati:
sisma - analisi statica**

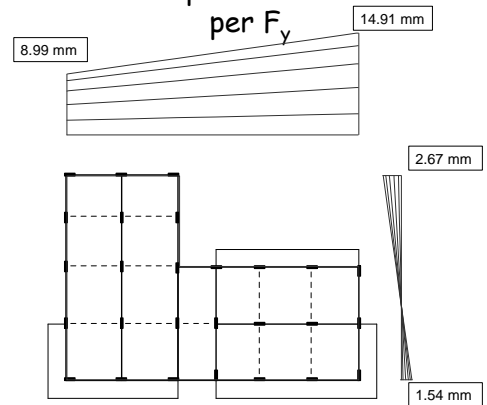
**Un mare di numeri. Come non perdersi?
Analisi statica**

- Esaminare gli spostamenti prodotti dalle forze nelle due direzioni
 - spostamenti analoghi nelle due direzioni o molto diversi?
 - solo traslazione, rotazione dell'impalcato modesta oppure forte?
- Stimare e controllare il periodo
- Esaminare i momenti massimi nei pilastri e nelle travi
 - rispettano le previsioni o no?

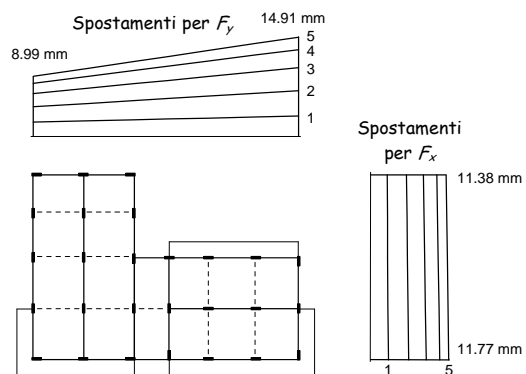
Spostamenti per F_x



Spostamenti per F_y



Spostamenti

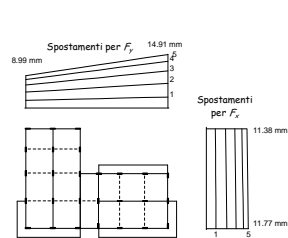


Spostamenti classe di duttilità "A"

Rotazione non
trascurabile per forze
in direzione y



La parte destra
andrebbe irrigidita



mediamente, spostamenti
analoghi nelle due direzioni
(ma i massimi per F_y sono
maggiori di circa il 25%)

Spostamenti per forze in
direzione x uniformi

Periodo proprio della struttura (Metodo di Rayleigh)

Una buona stima del periodo si ottiene:

$$T = 2\pi \sqrt{\frac{\sum_{i=1}^N m_i u_i^2}{\sum_{i=1}^N F_i u_i}}$$

m_i : massa di piano

F_i : Forza di piano

u_i : spostamento del baricentro di piano
(provocato dalla forze F_i)

Periodo proprio della struttura (direzione x)

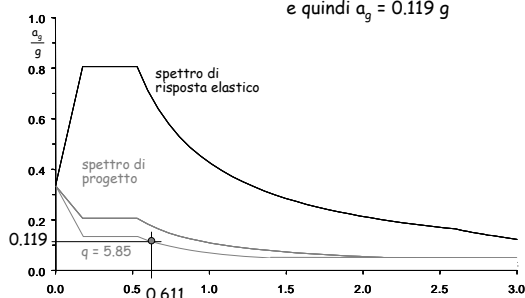
Piano	m (kN s ² /m)	F_x (kN)	u_x (mm)	$F_x u_x$ (kN m)	$m u_x^2$ (kN m s ²)
Torrino+V	313.1	506.4	11.628	5888.2	42.34
IV	334.9	435.9	10.307	4492.7	35.58
III	334.9	330.2	8.292	2738.2	23.03
II	334.9	224.6	5.652	1269.2	10.70
I	297.2	105.5	2.646	279.2	2.08
somma				14667.4	113.72

$$T_x = 2\pi \sqrt{\frac{\sum_{i=1}^N m_i u_{xi}^2}{\sum_{i=1}^N F_{xi} u_{xi}}}$$

$$T_x = 0.553 \text{ s}$$

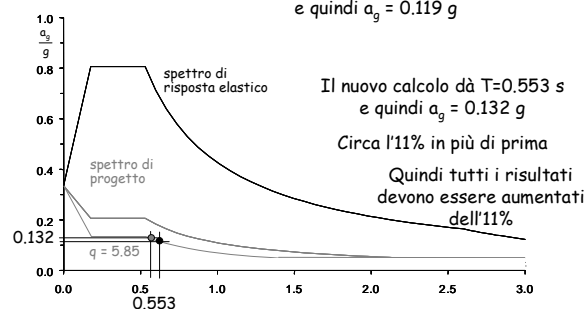
Esempio - ordinata spettrale

Si era ipotizzato $T=0.611$ s
e quindi $a_g = 0.119$ g



Esempio - ordinata spettrale

Si era ipotizzato $T=0.611$ s
e quindi $a_g = 0.119$ g



Il nuovo calcolo dà $T=0.553$ s
e quindi $a_g = 0.132$ g

Circa l'11% in più di prima

Quindi tutti i risultati
devono essere aumentati
dell'11%

Sollecitazioni per forze in direzione x senza incremento per rotazione

Piano	Taglio globale (kN)	Taglio pilastro (kN)	Momento pilastro (kNm)	Momento trave (kNm)
5	549.6	42.3	67.6	33.8
4	968.2	74.5	119.2	93.4
3	1285.3	98.9	158.2	138.7
2	1500.9	115.5	184.7	171.5
1 testa	1593.8	122.6	176.5	180.6
piede			309.0	

Sollecitazioni per forze in direzione x senza incremento per rotazione

Taglio previsto e taglio massimo riscontrato, per pilastri allungati in x

Piano	Taglio previsto (kN)	Taglio max (kN)
5	42.3	39.12
4	74.5	69.41
3	98.9	92.07
2	115.5	108.93
1	122.6	111.18

Il taglio massimo è abbastanza uniforme
I valori sono leggermente minori rispetto alle previsioni

Nota:
nei pilastri di estremità il taglio è minore (circa il 50% ai piani superiori, il 75% al piede del I ordine)

Nota: i valori devono essere aumentati del rapporto $0.131/0.119$ (circa 11%)

Sollecitazioni per forze in direzione x senza incremento per rotazione

Pilastri allungati in questa direzione

Piano	Momento previsto (kNm)	Momento max (kNm)
5	67.6	70.93
4	119.2	122.75
3	158.2	155.93
2	184.7	175.03
1 testa	176.5	153.45
piede	309.0	246.78

Il momento massimo è abbastanza uniforme
I valori corrispondono alle previsioni ai piani superiori, sono abbastanza più piccoli a quelli inferiori

Nota:
nei pilastri di estremità il momento è minore (circa il 50-60% ai piani superiori, l'85% al piede del I ordine)

Sollecitazioni per forze in direzione x senza incremento per rotazione

Travi emergenti dei telai in direzione x

Piano	Momento previsto (kNm)	Momento max (kNm)
5	33.8	37.57
4	93.4	90.00
3	138.7	133.66
2	171.5	166.76
1	180.6	174.68

Il momento massimo è abbastanza uniforme, sia come distribuzione in pianta che in base alla posizione nel telaio (incluse campate di estremità)

I valori corrispondono bene alle previsioni

Periodo proprio della struttura (direzione y)

Applicando la formula di Rayleigh

$$\text{si trova } T_y = 2\pi \sqrt{\frac{\sum_{i=1}^N m_i u_{yi}^2}{\sum_{i=1}^N F_{yi} u_{yi}}}$$

$$T_y = 0.552 \text{ s}$$

Quasi identico all'altra direzione

Si ha anche per questa direzione un incremento dell'accelerazione di circa l'11%

Sollecitazioni per forze in direzione y senza incremento per rotazione

Pilastri allungati in questa direzione

Piano	Taglio previsto (kN)	Taglio max, sin (kN)	Taglio max, des (kN)
5	42.3	27.31	44.93
4	74.5	50.93	82.85
3	98.9	68.24	112.27
2	115.5	80.52	135.83
1	122.6	89.89	122.95

Il taglio varia in base alla posizione in pianta a causa della rotazione
I valori massimi sono leggermente maggiori rispetto alle previsioni, tranne al I ordine
(5-15% a seconda dei piani)

Nota: i valori devono essere aumentati del rapporto 0.131/0.119 (circa 11%)

Sollecitazioni per forze in direzione y

Pilastri allungati in questa direzione

Piano	Momento previsto (kNm)	Momento max, sin (kNm)	Momento max, des (kNm)
5	67.6	50.26	82.29
4	119.2	90.90	147.14
3	158.2	116.18	190.12
2	184.7	131.15	220.89
1 testa	176.5	125.69	165.35
1 piede	309.0	197.91	277.27

Il momento varia in base alla posizione in pianta a causa della rotazione

I valori massimi sono leggermente maggiori rispetto alle previsioni, tranne al I ordine

(15-20% a seconda dei piani)

Sollecitazioni per forze in direzione y

Travi emergenti dei telai in direzione y

Piano	Momento previsto (kNm)	Momento max, sin (kNm)	Momento max, des (kNm)
5	33.8	26.45	44.37
4	93.4	65.80	111.80
3	138.7	95.71	166.11
2	171.5	119.36	205.49
1	180.6	130.89	212.06

Il momento varia in base alla posizione in pianta a causa della rotazione

I valori massimi sono leggermente maggiori rispetto alle previsioni

(15-20% a seconda dei piani)

Discussione dei risultati: analisi modale

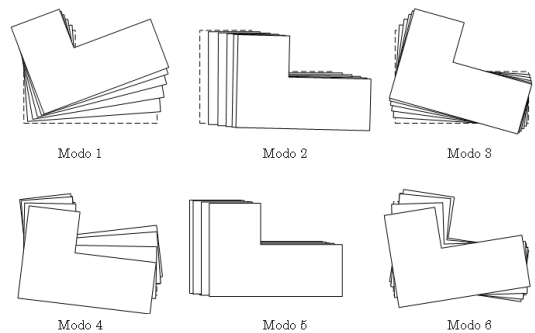
Un mare di numeri. Come non perdersi? Analisi modale

- Esaminare le deformate modali (indipendentemente dalla direzione del sisma)
 - sono disaccoppiate oppure accoppiate?
- Esaminare le masse partecipanti (per ciascuna direzione del sisma) per vedere quali modi danno maggior contributo
 - prevale un solo modo, o più di uno?
- Esaminare i periodi dei modi predominanti
 - corrispondono alle previsioni o no?

Un mare di numeri. Come non perdersi? Analisi modale

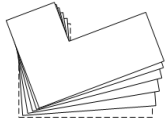
- Esaminare l'involuppo delle deformate modali, per le due direzioni del sisma
 - spostamenti analoghi nelle due direzioni o molto diversi?
 - solo traslazione, rotazione dell'impalcato modesta oppure forte?
- Esaminare i momenti massimi nei pilastri e nelle travi
 - rispettano le previsioni o no?

Deformate modali

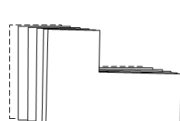


Deformate modali

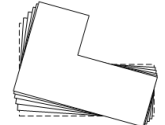
Modo 1 $T = 0.582 \text{ s}$



Modo 2 $T = 0.553 \text{ s}$



Modo 3 $T = 0.463 \text{ s}$

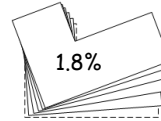


Il modo 2 è sostanzialmente di traslazione secondo x

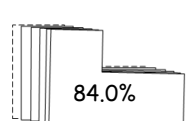
I modi 1 e 3 sono accoppiati (traslazione secondo y e rotazione)

Masse partecipanti, sisma x

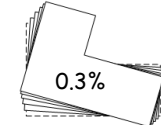
Modo 1 $T = 0.582 \text{ s}$



Modo 2 $T = 0.553 \text{ s}$



Modo 3 $T = 0.463 \text{ s}$

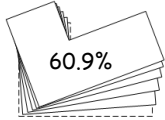


Il modo 2 dà il contributo massimo

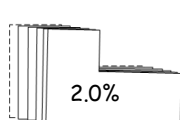
Il modo 5, di traslazione x con spostamenti nei due versi, dà un ulteriore contributo (8.9%)

Masse partecipanti, sisma y

Modo 1 $T = 0.582 \text{ s}$



Modo 2 $T = 0.553 \text{ s}$



Modo 3 $T = 0.463 \text{ s}$

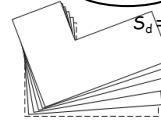


I modi 1 e 3 danno il contributo massimo

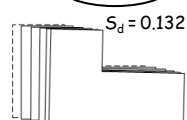
Il modo 4, di traslazione y e rotazione con spostamenti nei due versi, dà un ulteriore contributo (6.9%)

Periodi dei modi predominanti

Modo 1 $T = 0.582 \text{ s}$



Modo 2 $T = 0.553 \text{ s}$



Modo 3 $T = 0.463 \text{ s}$



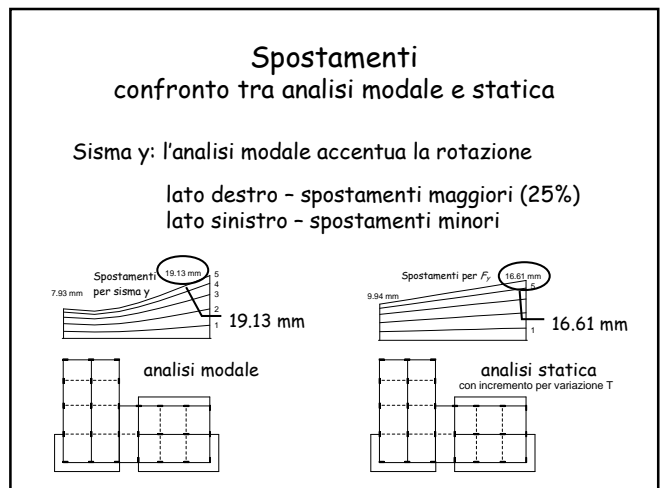
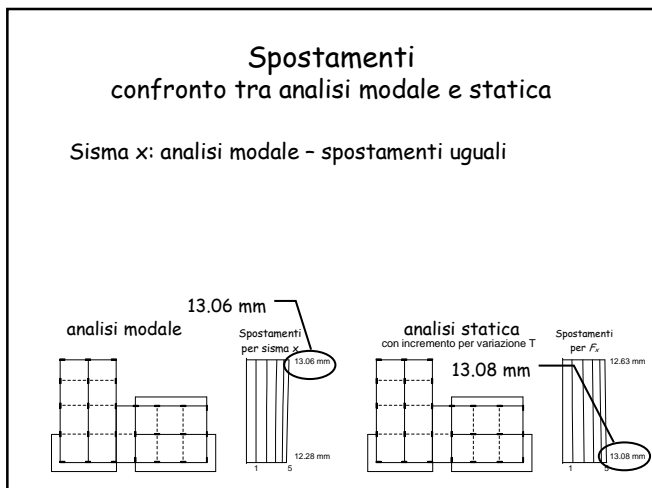
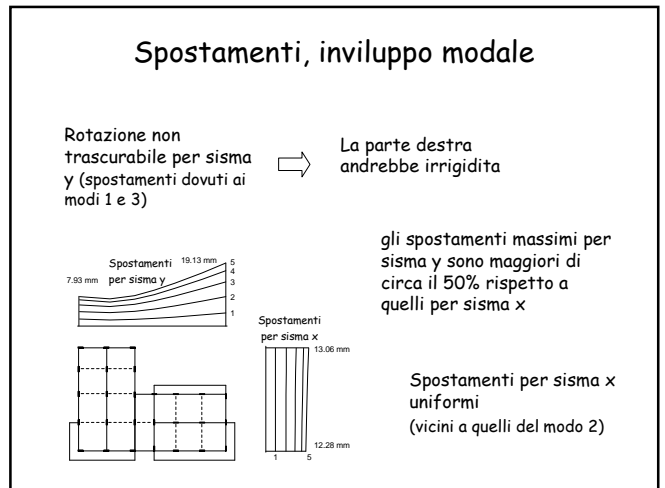
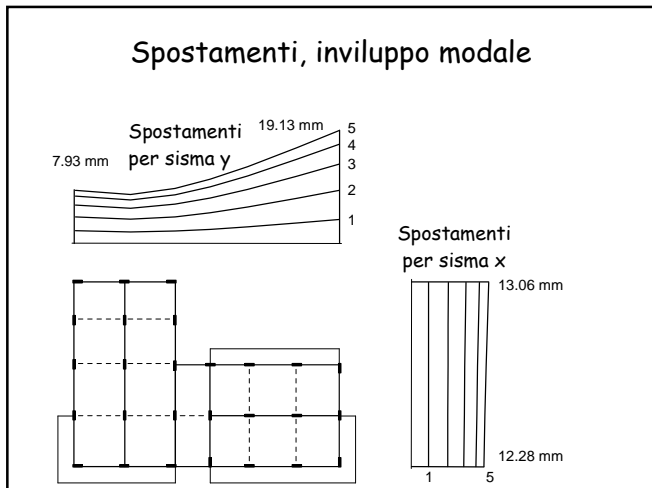
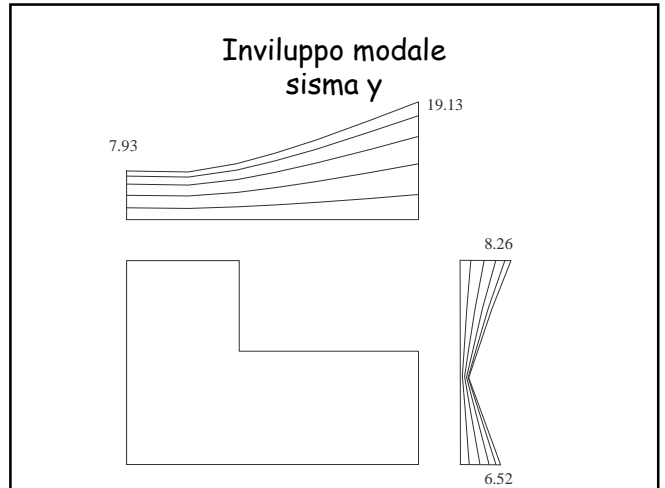
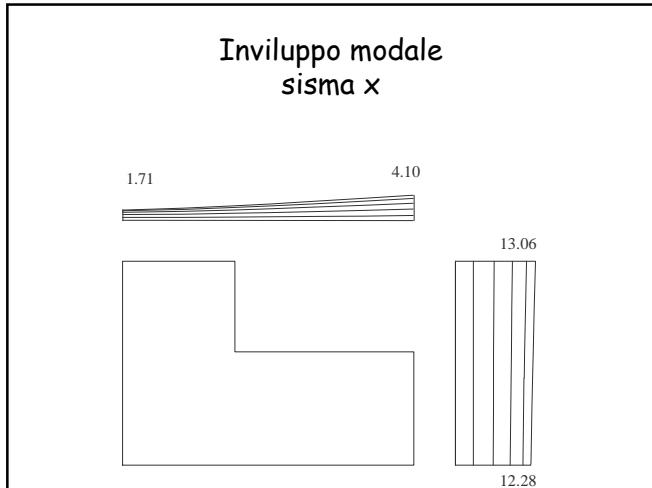
Periodi stimati: ~~0.641 s~~

$T_x = 0.553 \text{ s}$ $S_d = 0.132 \text{ g}$

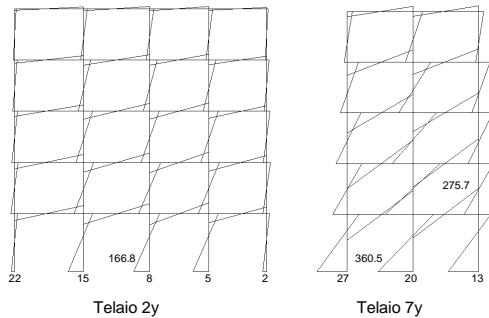
$T_y = 0.552 \text{ s}$ $S_d = 0.132 \text{ g}$

I periodi sono analoghi

Le ordinate spettrali sono quindi analoghe



Sollecitazioni



Sollecitazioni per sisma in direzione x

Pilastri allungati in questa direzione

Piano	Taglio An. statica (kN)	Taglio An. modale (kN)
5	39.12	42.73
4	69.41	75.81
3	92.07	101.98
2	108.93	122.03
1	111.18	120.36

+11% per
diff. periodo

Il taglio massimo è abbastanza uniforme

Come per l'analisi statica, nei pilastri di estremità il taglio è minore (circa il 50% ai piani superiori, il 75% al piede del I ordine)

Analisi statica e modale forniscono valori sostanzialmente uguali

Sollecitazioni per sisma in direzione x

Pilastri allungati in questa direzione

Piano	Momento An. statica (kNm)	Momento An. modale (kNm)
5	70.93	77.13
4	122.75	134.37
3	155.93	173.30
2	175.03	196.46
1 testa	153.45	167.40
piede	246.78	265.99

+11%

Il momento massimo è abbastanza uniforme

Come per l'analisi statica, nei pilastri di estremità il momento è minore (circa il 50-60% ai piani superiori, l'85% al piede del I ordine)

Analisi statica e modale forniscono valori sostanzialmente uguali

Sollecitazioni per sisma in direzione x

Travi emergenti dei telai in direzione x

Piano	Momento An. statica (kNm)	Momento An. modale (kNm)
5	37.57	40.76
4	90.00	97.71
3	133.66	146.61
2	166.76	186.77
1	174.68	203.18

+11%

Il momento massimo è abbastanza uniforme,

sia come distribuzione in pianta che in base alla posizione nel telaio (incluse campate di estremità)

Analisi statica e modale forniscono valori sostanzialmente uguali

Sollecitazioni per sisma in direzione y (max, des)

Pilastri allungati in questa direzione

Piano	Taglio An. statica (kN)	Taglio An. modale (kN)
5	44.93	57.03
4	82.85	105.51
3	112.27	145.08
2	135.83	177.19
1	122.95	159.98

+11%

Il taglio varia molto in base alla posizione in pianta, a causa della rotazione

I valori dell'analisi modale sono maggiori di quelli dell'analisi statica (dal 10 al 15% a seconda dei piani)

Sollecitazioni per sisma in direzione y (max, des)

Pilastri allungati in questa direzione

Piano	Momento An. statica (kNm)	Momento An. modale (kNm)
5	82.29	103.88
4	147.14	187.92
3	190.12	246.55
2	220.89	287.58
1 testa	165.35	215.55
piede	277.27	360.46

+11%

Il momento varia in base alla posizione in pianta a causa della rotazione

I valori dell'analisi modale sono maggiori di quelli dell'analisi statica (dal 10 al 15% a seconda dei piani)

Sollecitazioni per sisma in direzione y (max, des)

Travi emergenti dei telai in direzione y

Piano	Momento An. statica (kNm)	Momento An. modale (kNm)
5	44.37	56.03
4	111.80	141.06
3	166.11	212.26
2	205.49	265.79
1	212.06	275.67

+11%

Il momento varia in base alla posizione in pianta a causa della rotazione

I valori dell'analisi modale sono maggiori di quelli dell'analisi statica (dal 10 al 15% a seconda dei piani)

Sollecitazioni per sisma in direzione y (min, sin)

Pilastri allungati in questa direzione

Piano	Taglio An. statica (kN)	Taglio An. modale (kN)
5	27.31	24.81
4	50.93	45.19
3	68.24	61.30
2	80.52	73.31
1	89.89	79.02

+11%

Il taglio varia molto in base alla posizione in pianta, a causa della rotazione

I valori dell'analisi modale sono minori di quelli dell'analisi statica (circa il 15%)

Sollecitazioni per sisma in direzione y (min, sin)

Pilastri allungati in questa direzione

Piano	Momento An. statica (kNm)	Momento An. modale (kNm)
5	50.26	45.08
4	90.90	80.71
3	116.18	104.66
2	131.15	119.18
1 testa	125.69	110.19
piede	197.91	174.34

+11%

Il momento varia in base alla posizione in pianta a causa della rotazione

I valori dell'analisi modale sono minori di quelli dell'analisi statica (circa il 15%)

Sollecitazioni per sisma in direzione y (min, sin)

Travi emergenti dei telai in direzione y

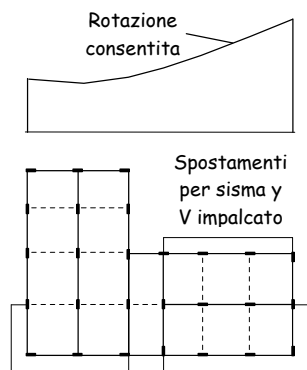
Piano	Momento An. statica (kNm)	Momento An. modale (kNm)
5	26.45	23.66
4	65.80	58.18
3	95.71	85.03
2	119.36	107.23
1	130.89	116.65

+11%

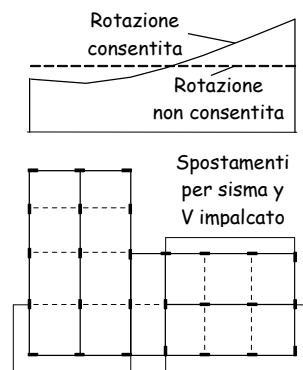
Il momento varia in base alla posizione in pianta a causa della rotazione

I valori dell'analisi modale sono minori di quelli dell'analisi statica (circa il 15%)

Suggerimento



Suggerimento



La rotazione riduce gli spostamenti del lato rigido (e quindi le sollecitazioni)

Meglio non ridurre le sollecitazioni di progetto rispetto al caso di traslazione pura

Secondo:

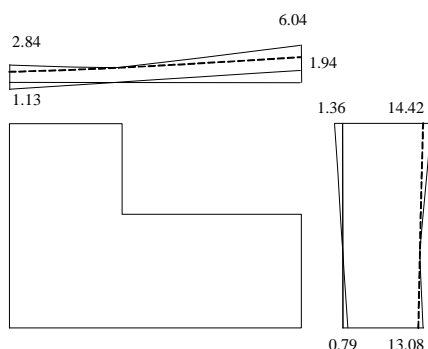
- Comunità scientifica internazionale
- Normativa americana

Eccentricità accidentale

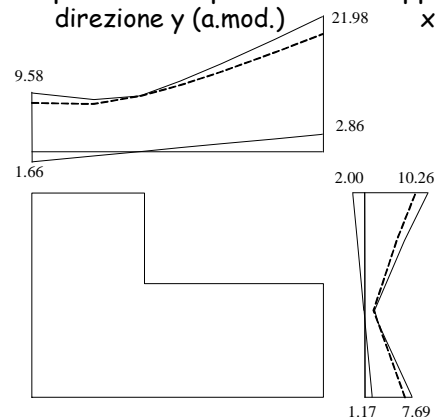
Eccentricità accidentale Esame dei risultati

- Esaminare per ciascuna delle due direzioni gli spostamenti prodotti dalle coppie e confrontarli con quelli prodotti dalle forze
 - l'effetto delle coppie è lo stesso a tutti i piani?
 - la sua entità è comparabile con quanto previsto?
- Esaminare i momenti massimi nei pilastri e nelle travi e confrontarli con quelli prodotti dalle forze
 - l'incremento dovrebbe essere analogo a quello degli spostamenti

Spostamenti per forze e coppie direzione x (analisi modale)



Spostamenti per forze e coppie direzione y (a.mod.)



Spostamenti per forze e coppie considerazioni

- Le coppie provocano un incremento di spostamento percentualmente analogo a tutti i piani
- L'incremento va dal 6% (inf) al 10% (sup) nel caso di azioni in direzione x
- L'incremento va dal 16% (sin) al 17% (des) nel caso di azioni in direzione y
- Gli incrementi percentuali δ possono essere stimati con l'espressione semplificata con opportuni valori di k
- Nel caso in esame: $k=0.16$ per dir.x, $k=0.33$ per dir.y
- La formula è suggerita anche dall'OPCM 3431, ma con $k=0.6$

$$\delta = k \frac{x}{L_e}$$

Caratteristiche della sollecitazione per forze e coppie

- L'incremento percentuale di sollecitazione dovuto alle coppie è lo stesso di quanto riscontrato per gli spostamenti:
 - dal 6% (inf) al 10% (sup) nel caso di azioni in direzione x
 - dal 16% (sin) al 17% (des) nel caso di azioni in direzione y
- L'incremento percentuale di sollecitazione può essere stimato con la stessa espressione indicata per gli spostamenti

Combinazione delle azioni nelle due direzioni

Le componenti orizzontali

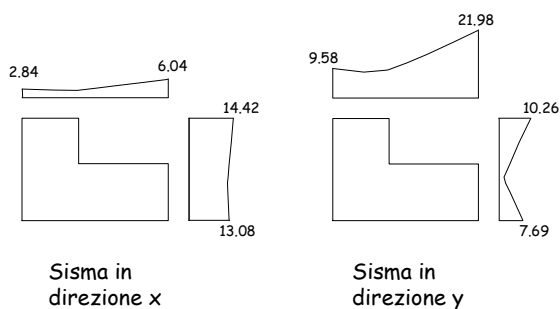
"I valori massimi della risposta ottenuti da ciascuna delle due azioni orizzontali applicate separatamente potranno essere combinati sommando, ai massimi ottenuti per l'azione applicata in una direzione, il 30% dei massimi ottenuti per l'azione applicata nell'altra direzione"

In che modo capire quanta importanza ha questa combinazione?

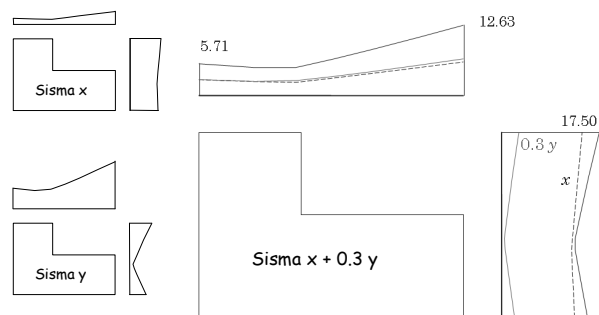
Ragioniamo ancora esaminando gli spostamenti

Ordinanza 3431, punto 4.6

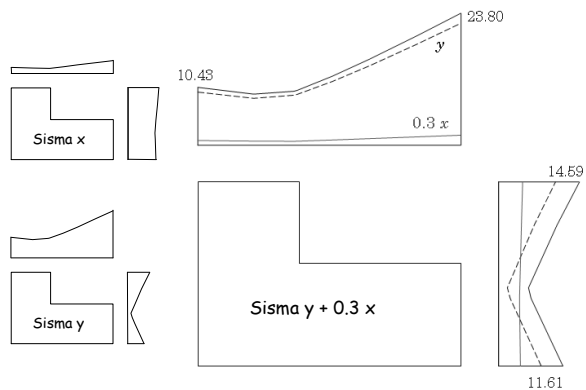
Effetto complessivo del sisma separatamente nelle due direzioni



Inviluppo: sisma x + 0.3 sisma y analisi modale



Inviluppo: sisma y + 0.3 sisma x analisi modale



Commenti

Effetto complessivo

di eccentricità accidentale e combinazione x y

Travi:

- le travi dei telai centrali ne risentono in misura minima
- le travi dei telai di estremità hanno, rispetto allo schema con sole forze, un incremento di caratteristiche di sollecitazione fino a circa il 20%

Effetto complessivo

di eccentricità accidentale e combinazione x y

Pilastri:

- i pilastri nella parte centrale dell'edificio non hanno variazioni rilevanti delle caratteristiche di sollecitazione massima, ma devono essere verificati a pressoflessione deviata con momenti trasversali pari a circa il 30% del massimo
- i pilastri perimetrali hanno un incremento di caratteristiche di sollecitazione fino a circa il 20%, ed inoltre devono essere verificati a pressoflessione deviata con momenti trasversali pari a circa il 40%-60% del massimo

Giudizio complessivo

prima di passare ad una verifica dettagliata

Rispetto alla stima iniziale, fatta in fase di dimensionamento:

- la previsione iniziale del periodo ha sottostimato l'azione sismica di circa un 10%
- la previsione dell'effetto di forze statiche era corretta, ma con leggera sottostima delle sollecitazioni nella parte destra (dovuta alla eccessiva eccentricità masse-rigidezze)
- l'effetto dell'eccentricità accidentale è stato ben stimato
- la contemporanea presenza delle due componenti del sisma è in alcuni casi più gravosa del previsto

Il dimensionamento iniziale è accettabile?

Probabilmente sì, anche se in alcuni elementi le sollecitazioni sono un po' più grandi del previsto

Se la risposta fosse stata negativa, si doveva ritornare al dimensionamento, per correggere le carenze evidenziate

In particolare, sarebbe opportuno irrigidire la parte destra dell'edificio, aumentando le dimensioni di alcuni elementi o girando alcuni pilastri

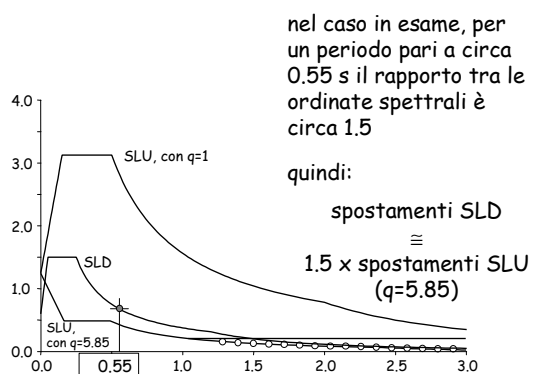
Stato limite di danno

Stato limite di danno

Prima di passare alla definizione delle armature, è opportuno controllare gli spostamenti per lo stato limite di danno

Occorrerebbe ripetere tutto il calcolo, usando gli spettri relativi allo SLD, ma può essere più semplice valutare gli spostamenti a partire da quelli per lo SLU, tenendo conto della differenza di ordinata dei relativi spettri

Spettri per SLU e SLD



Verifica spostamenti per SLD

Spostamento relativo accettabile: 0.005 h

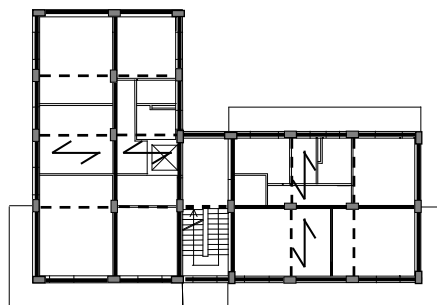
Nel caso in esame: $0.005 \times 3200 = 16 \text{ mm}$

Spostamento relativo massimo, fornito dall'analisi: $1.5 \times 6.4 = 9.6 \text{ mm}$ (tra II e I impalcato)

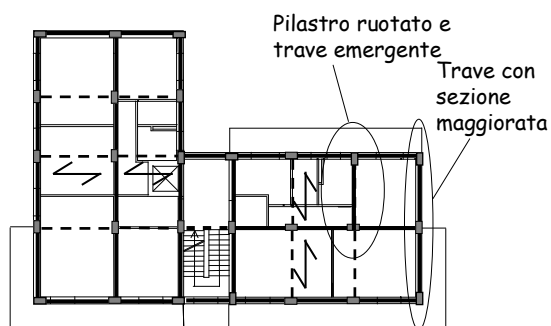
La verifica è soddisfatta

Possibile ridimensionamento

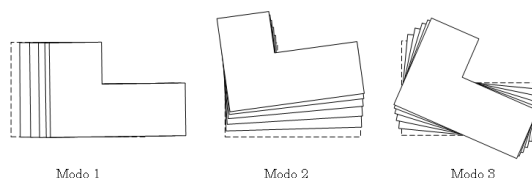
Impostazione della carpenteria



Impostazione della carpenteria con modifiche

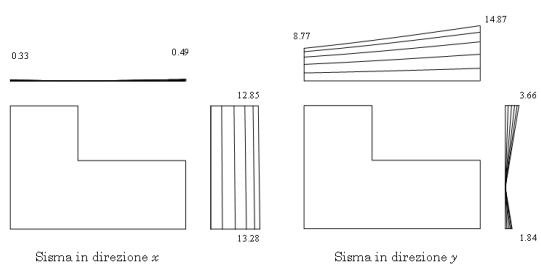


Modi di oscillazione libera

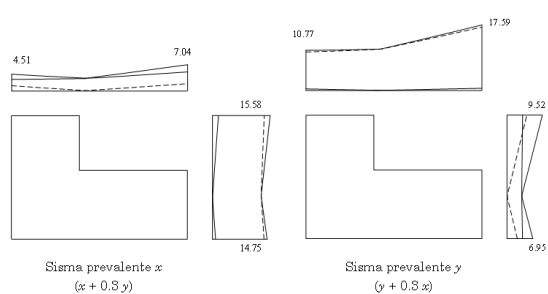


Modo	Periodo T [s]	Massa partecipante x [%]	Massa partecipante y [%]
1	0.667	86.02	0.00
2	0.616	0.01	82.81
3	0.449	0.03	3.29

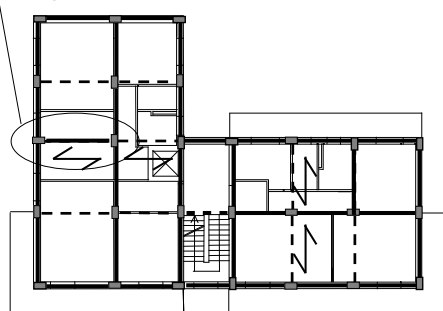
Inviluppo spostamenti modali



Effetto complessivo



Impostazione della carpenteria Pilastro ruotato e ulteriori modifiche trave emergente



Effetto complessivo

